

積分方程式法による粘弹性波動解析

大阪府

○川上 隆

京都大学工学部 正員

小林昭一

1. はじめに

近年、弾性地盤の動的挙動を解析する際、積分方程式法がよく用いられているが、ここでは、さらに粘弹性体においても、動弾性の場合は弾性定数に対して、複素弾性定数を持ち込むことで、同様の解析が可能であることを示す。モデルとして、無限地盤円孔及び多層地盤に粘弹性体を含む場合を考え、定常問題を対象とし、積分方程式法又は、有限要素法を併せ持つハイブリッドな手法を用いて、その適用性を示した。

2. 粘動弾性問題

微小変形を仮定すると、線形粘弹性体における構成式は、次式となる。

$$\tau_{ij}(x, t) = \int_{-\infty}^t G_{ijkl}(t-\tau) \frac{d\varepsilon_{kl}(x, \tau)}{d\tau} d\tau \quad (1.1)$$

ε_{ij} : τ_{ij} : 応力, ε_{kl} :ひずみ, G_{ijkl} : 緩和関数テンソル

(1.1)をフーリエ変換すると

$$\hat{\tau}_{ij}(x, \omega) = G_{ijkl}^*(\omega) \hat{\varepsilon}_{kl}(x, \omega) \quad (1.2)$$

$\hat{\varepsilon}_{kl}$: 複素緩和テンソル ($= i\omega \hat{G}_{ijkl}(w)$), “*”は、複素型であることを示し、“~”は、フーリエ変換された関数を示す。さらに、動弾性の運動方程式をフーリエ変換すると

$$\mu^*(\omega) \hat{u}_{ij,ii} + (\lambda^*(\omega) + \mu^*(\omega)) \hat{u}_{ij,ji} + \rho \omega^2 \hat{u}_i = 0 \quad (1.3)$$

定常状態の変位は、次式で表される。これをフーリエ変換して(1.3)に代入すると(1.5)を得る。

$$u = \underline{a} e^{i(k \cdot x - \omega t)} \quad (1.4)$$

$$(\lambda^* + \mu^*) (\underline{k} \cdot \underline{k}) \underline{a} + (\mu^* \underline{k} \cdot \underline{k} - \rho \omega^2) \underline{a} = 0 \quad (1.5)$$

より、 $\lambda^* + \mu^* \neq 0$ を仮定すると次の2つの波に分けることができ((i) は、P波, (ii) は、S波に相当する。)

$$(i) \underline{a} = A \underline{k} \quad |\underline{k}|^2 = \frac{\rho}{\lambda^* + 2\mu^*} \omega^2 \quad (1.6)$$

$$(ii) \underline{k} \cdot \underline{a} = 0 \quad |\underline{k}|^2 = \frac{\rho}{\mu^*} \omega^2 \quad (1.7)$$

(i), (ii)より、 ω を実数にとると、 \underline{k} は、複素数であり、 $\underline{k}^* = \underline{k} + i\underline{\omega}$ とおくことができる。これを(1.4)に代入する。

$$u = \underline{a}^* e^{-\underline{k} \cdot \underline{x}} e^{i(\underline{k} \cdot \underline{x} - \omega t)} \quad (1.8)$$

後の虚部が粘性を示し、 $e^{-\underline{k} \cdot \underline{x}}$ は、距離減衰を表す。 λ^*, μ^* は、 $\alpha = |\underline{k}| / |\underline{k}|^2$ を与えることにより、決定される複素弾性定数である。よって、(1.3)を積分方程式法、有限要素法を用いて数值解析することになる。

3. 積分方程式法

Fig.1において ∂D 上の変位、表面力に対し、次式が成立つ。

$$\frac{1}{2} U_i(x) = \int_{\partial D} \left\{ \Gamma_i^{(R)}(x, \xi) t_i(\xi) - U_i(\xi) \Gamma_i^{(L)}(x, \xi) \right\} dC_\xi \quad (3 \cdot 1)$$

$$\Gamma_i^{(R)}(x, \xi) = \frac{i}{4} \mu^* \left[H_0^{(1)}(k_r^* r) \delta_{ix} - \frac{1}{k_r^* r} \frac{\partial^2}{\partial y_i \partial \theta} \left\{ H_0^{(1)}(k_r^* r) - H_0^{(1)}(k_s^* r) \right\} \right] \quad (3 \cdot 2)$$

$\Gamma_i^{(L)}(x, \xi)$ は、 $\Gamma_i^{(R)}(x, \xi)$ を法線微分したもので、 $H_0^{(1)}$: 第1種 0次の Hankel 関数、 $r = |x - \xi|$, k_r^* , k_s^* : P, S 波の複素型の波数

4. 有限要素法

$(D_i + \partial D)$ 上の変位、表面力に対し、次式が成立つ。

$$-\int_D N_{i,j}^A G_{j,k}^* N_{k,l}^B U_l^B ds + \int_{\partial D} N^A t_j dC + \rho w^2 \int_D N^A N^B U_j^B ds = 0 \quad (4 \cdot 1)$$

$i = 2$, N : 形状関数

3, 4 おり、弾性定数を複素弾性定数に換えること、それと定式化し、数値解析することができる。

5. 対応例

(1) Fig. 2 の無限地盤にある円孔に SH 波が入射した場合、
3 の外部問題を、散乱波に対する積分方程式を用い、連立方程式を解くこと、境界上の変位、周辺応力の応答解析をまなう。その結果を Fig. 3 に示す。

(2) Fig. 4 の半無限地盤に粘性を持つ弱層が存在する場合。
領域 D_b : 弹性 … SV 波を入射させ、散乱波に対する積分方程式を用いる。
領域 D_e : 粘性 ($\eta = 0.05$) … 積分方程式を用いる (内部問題)。
領域 D_i : 粘性 ($\eta = 0.07$) … 有限要素法を用いる (内部問題)。 (5 \cdot 1)

境界条件は、地盤表面での表面力が、 0 , D_i と D_e , D_e と D_b の境界において、変位の連続、表面力の釣り合いを仮定する。精度 CHECK は、 D_i , D_e , D_b における同じ弾性定数を用い、散乱波をはじまい条件ごとに、弾性と粘性に対する表面の変位応答を調べ、確かめ。Fig. 5, Fig. 6 は、実際のモデルを想定して、(5 \cdot 1) の条件ごとに応答解析をおこなった。

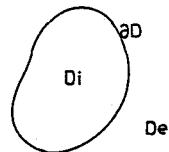


Fig. 1

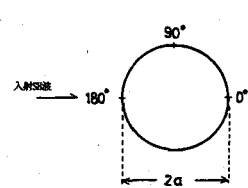


Fig. 2

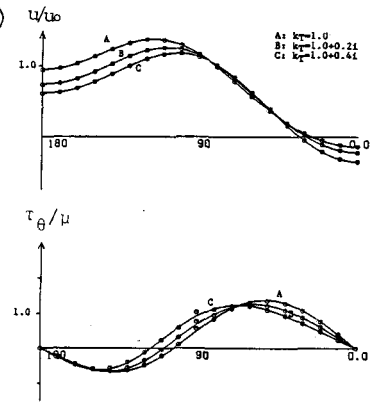


Fig. 3 : 実線は正解を、" " は計算値を示し、正解は、Paoの理論解を用いている。

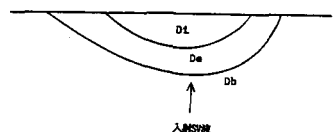


Fig. 4

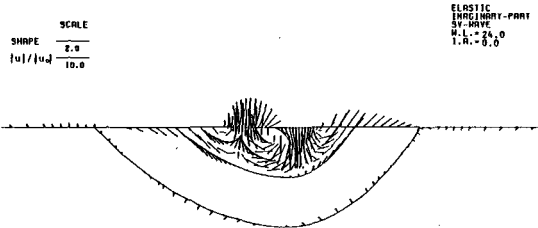


Fig. 5

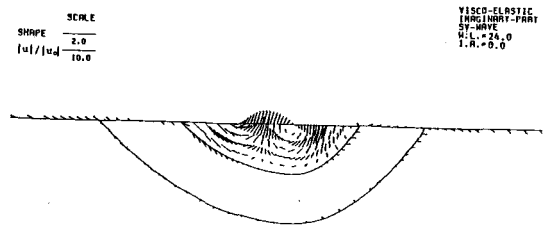


Fig. 6